

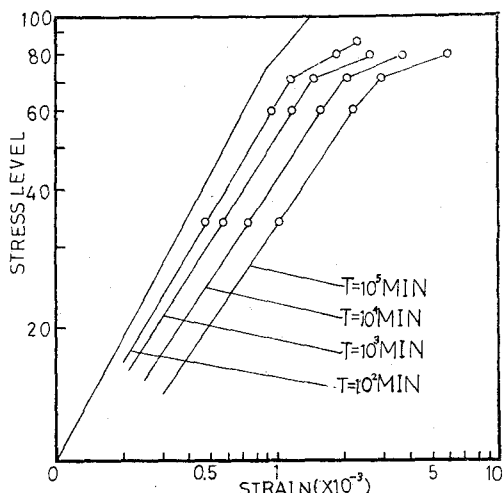
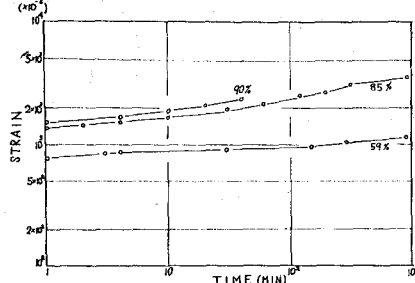
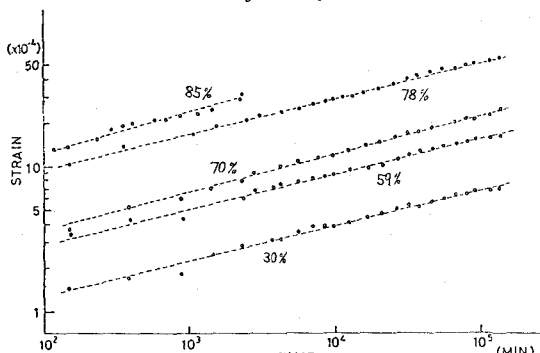
九州大学 生産研 正員 江崎哲郎
 工学部 学生員○近田孝夫
 " " 正員 徳光善治

1. 緒言

前2報においては、低応力レベルから高応力レベルに至るまでの持続荷重下における時間依存の変形と破壊の特性を述べ、従来クリープ変形の実験式として用いられてきたKelvin model をはじめとする2定数型の表示では、高応力レベルでは、うまく表わせないことが分った。従って、ここでは power expressions (累乗表示) を検討することにする。

2. Power expressions. について

クリープひずみ ϵ_t 載荷時間 t に対して $\epsilon_t = At^B$ なる power expression はクリープの研究がはじまった頃から提案されていろいろあるが、無限時間にクリープが一定値に収束しないという矛盾のため、あまり多くは用いられていない。各定数の値は実験者によりまちまちで、例えば B の値は、Straub 0.42, Shank やび Saliger $1/3$, Jensen $1/2$, Friedrich $1/4$, 久保 0.2~0.36 などがあり、およそ 0.2~0.5 の範囲である。一方、Nadai, 久保, Nutting らは応力 P も含めて $\epsilon_t = f(P) \cdot g(t)$ なる相乘型を提案し、別えれば久保は非線型のクリーパー応力関係に対して応力の増加分 ΔP によるクリープ増加分を $\Delta \epsilon_t = f(p + \Delta p) \cdot g(t) - f(p) \cdot g(t)$ として差支えなりとしている。Nutting は織維の応力-ひずみ一時間の関係を $g(t) = P^\alpha \epsilon^{-1} t^\alpha$ という、より拡張されたレオロジー特性を表す式で示している。すなむち、 α に特別の値を入れればフック弾性およびニュートン粘性となり α はそれを弾性率、粘性率となる。Scott Blair らは多くの物質に対してこの式が成立し、通常なみ、 α をとることにより、零および無限大の場合の障壁がすびりの次元の問題点はあるものの、一定速度が得られるることを示している。そこで、この Nutting-Scott Blair 式を前報(その2)の実験結果に対して検討してみる。

図-3 $\log P_t - \log \epsilon_t$ の関係図-1 $\log \epsilon_t - \log t$ の関係図-2 $\log \epsilon_t - \log t$ の関係

3. やの求め方とその結果

ここでは応力 α を応力レベル $P_r(\%)$ 、時間 t を分で示すこととする。(α, β の値は単位が異なっても不変で、 γ のみが影響をうける) 応力レベル P_r 一定の時間依存のひずみ ϵ_t と時間 t の関係(図-1, 2)より $\log \epsilon_t - \log t$ の直線関係が得られ、その勾配が γ となる(b_1 は切片)、すなれば、 $P_r = 70\%$ までは $\gamma \approx 0.25$ と一定となり、Friedrich の結果と一致するが、それ以上になると勾配は大となる。

すなれば、 $\alpha = 0.25$ のときは定常領域における変形の進行を考えることができ、 $\alpha > 0.25$ となつた時に加速領域に入ったものと考えられる。さらに七分後(ここで $t = 10, 10^2 \dots 10^5$ 分ととつた)のひずみ ϵ_t を各応力レベルについて求め、 $\log P_r - \log \epsilon_t$ の関係を求めるとき図-3 のようになる。これに、 $P_r = 70\%$ 付近に折点を持つ折線で表わされ、低い方の勾配が γ_1 、($\gamma_1 \approx 1.5$ と一定)、高い方の勾配 γ_2 はそれよりかなり小さな勾配となる。これらの両方の結果から γ を求めると表に示したように $P_r = 70\%$ 以下で約 10^7 、 70% 以上で約 10^{10} とほぼ一定となる。すなれば γ が一定の場合には、応力-ひずみ-時間 3 軸と 3 空間上で上式は一つの曲面を表めし、この場合は $P_r = 70\%$ で切面を境界とする 2 曲面で表わされる。図-4 にこの曲面を $t = 10^2 \sim 10^5$ 分の面で切つた切口の形を示す。

このように直線の勾配 γ および β は、クリープ限界、あるいは破壊と非破壊の境界附近において明らかに変化を示し、コンクリートの内部における構造変化の指標となることがある。すなれば、 γ に変化が生じた場合には、破壊がさせまっていゝことを考えらる。例えば $P_r = 78\%$ の供試体は、載荷後 16 ヶ月(約 7×10^5 分)経過してすでに破壊していないが、コンクリート表面の観察においても表面に軸方向のクラックが発達しており、構造変化を生じていうことが推察される。

4. Nutting - Scott Blair 式のコンクリートに対する適用について

以上のように応力-ひずみ-時間の関係が $\gamma = P_r^\beta \epsilon_t^\alpha t^\beta$ の 2 つの式でコンクリートの場合も表わすことができるが、これを一般的なひずみと応力が共に変化する場合に適用する場合について考えてみる。応力によらずひずみは瞬間ひずみとこの時間依存のひずみの和として示し、応力増加または一定の場合には、ひずみ、時間(この式では t が陽に含まれてるので消去でき、その代りにひずみ速度 $\dot{\epsilon}_t$ でもよい)が分れば応力(ϵ_t に対しては応力速度 \dot{P})が求められる。しかし応力が低下する場合には、非線型、リカバリの問題が残る。図-5 では、持続する曲げ圧縮応力をうける R.C. 柱中央部の各 fiber のひずみ速度から rate of creep method を用いて応力を推定した結果の 1 例であり、fiber ④⑤ は rate of creep method が回復を表現できないため応力 0 となっている。また fiber ①② では応力増加、③ では最終的に応力が低下している。しかるに Nutting 式は、そのまま適用すれば曲面上を移動するが、リカバリを表現できるが誤差がある。また、リカバリは、一般に載荷期間が長く、応力レベルが大きいほど小さい。従って、応力低下が小さい場合には、そのまま用いても差支えないが、応力低下が大きい場合には、回復について検討する必要がある。

表

PR%	α	b_1	γ	TIME - STRAIN		STRESS LEVEL - STRAIN					
				t_{min}	β	b_2	γ_2	β'	b_3'	γ_3'	
34	0.253	-4.430	$10^{-6.8}$	10	1.425	-6.352	$10^{-6.6}$	1.812	-6.900	$10^{-7.4}$	
59	0.244	-4.307	$10^{-7.0}$	10^2	1.469	-6.179	$10^{-6.7}$	5.091	-14.865	$10^{-8.9}$	
70	0.275	-4.024	$10^{-6.8}$	10^3	1.537	-6.037	$10^{-6.8}$	8.979	-19.765	$10^{-7.3}$	
78	0.234	-3.479	$10^{-9.8}$	10^4	1.562	-5.824	$10^{-6.8}$	8.106	-17.880	$10^{-7.9}$	
85	0.507	-3.911	$10^{-9.5}$	10^5	1.612	-5.649	$10^{-6.9}$	2.234	-15.996	$10^{-8.5}$	
90	-1.171	-4.695	$10^{-20.5}$								

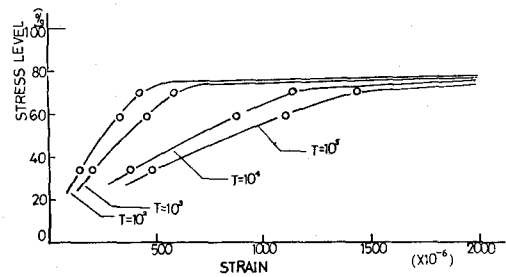


図-4. 曲面の切口の形状

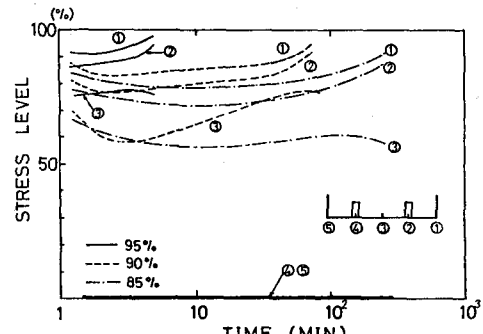


図-5. 曲げ圧縮をうける R.C. 柱の応力